

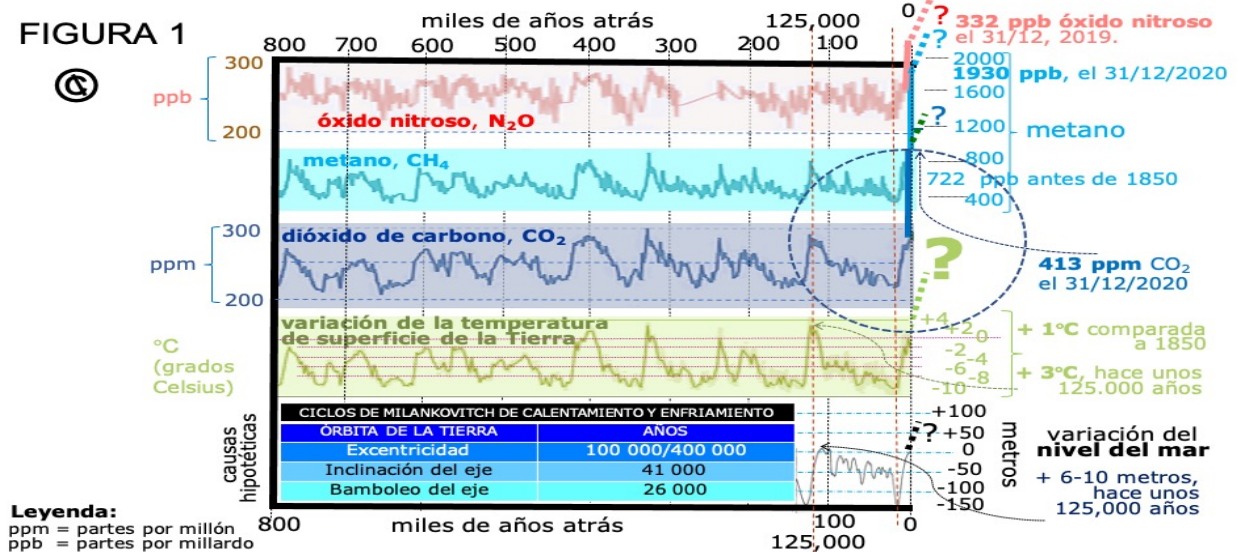


“EVITANDO LOS EXTREMOS DEL CALENTAMIENTO GLOBAL” por Antonio Cassella

ABSTRACTO. Percibir la realidad del **poder** de la **alianza** de la computación **cuántica** con la **clásica**<sup>1</sup> ayudará Ciencia, Religión, Filosofía y Arte a evitar los extremos del calentamiento global, mantener la sonrisa de los **jóvenes** y llegar a un Progreso sostenible.<sup>2</sup>

1. INTRODUCCIÓN: ESCAPANDO DE LA ÚLTIMA MILLA

FIGURA 1



La Figura 1 muestra que en los últimos 800.000 años la concentración de tres gases de invernadero (GDI)—dióxido de carbono (CO<sub>2</sub>), metano (CH<sub>4</sub>) y óxido nítrico (N<sub>2</sub>O)—en la atmósfera de la Tierra ha seguido la variación de la temperatura de superficie.<sup>3</sup> El nivel del mar muestra un tenue retraso.

**No es fácil separar causas y efectos.** Los cambios del clima iniciaron con un ciclo de Milankovitch, especialmente la excentricidad de la órbita de la Tierra alrededor del Sol. Pero nuestras emisiones de CO<sub>2</sub>, CH<sub>4</sub>, y N<sub>2</sub>O hacen la causa actual del alza de la temperatura de superficie de la Tierra. Por eso, si la temperatura de superficie siguiese las emisiones de GDI, los cambios climáticos se agravarían, a menos que  **pensemos y esperemos en lo impensable e imposible, antes de actuar.**

Un aumento de 1°C (grados Celsius) ha ocurrido ya en la temperatura de superficie, después de la expansión de la Revolución Industrial desde 1850. Para evitar *extremos no-lineares* (e.g., huracanes, tornados, sequías e inundaciones), el Panel Intergubernamental sobre el Cambio Climático (IPCC en inglés) nos aconseja limitar futuros aumentos a 0,5°C. ¿Podemos hacerlo?

<sup>1</sup> En las CARTAS DE LA HEURÍSTICA LOGOS publicadas cada dos meses por Research Autism LLC y en los escritos impresos de Antonio Cassella: la invariancia autística de la **primera atención** (1), o la computación clásica, es **subrayada**; la tentación inherente a la **segunda atención** (2) dañada en el autismo, o la **computación cuántica**, se da en **negrilla**; y su combinación en la **tercera atención** (3) (dañada en la esquizofrenia), que renueva la realidad y el yo, une el **subrayado a la negrilla** o se muestra con una Mayúscula inicial irregular.

<sup>2</sup> Nuestras cartas sobre aspectos de la Tercera Atención se dan sin costo en [researchautism.com](http://researchautism.com), un sitio web protegido por GoDaddy.com. Esta carta viene con la licencia Creative Commons como (ejemplo de citación): Cassella, A. (2021). Evitando los extremos del calentamiento global. *Cartas de la heurística logos*, 2(1), 1-8.

<sup>3</sup> La variación de temperatura fue tomada de núcleos de hielo de la Antártida y asentada en una gráfica de la NASA hecha por Robert Simmons con datos de Jouzel et al. (2007), que fue publicada por la NASA en el 2010. Los cambios de dióxido de carbono, metano y óxido nítrico desde el 800.000 AEC (Antes de la Era Común) al 2015 EC (Era Común) son de la EPA (“Environmental Protection Agency” de los USA); y han sido publicados en el sitio web de la EPA en agosto del 2016. También esos cambios son basados en núcleos de hielo de la Antártida. El nivel del mar fue tomado de una curva publicada por la NOAA y modificada por el autor para los últimos 22,000 años.



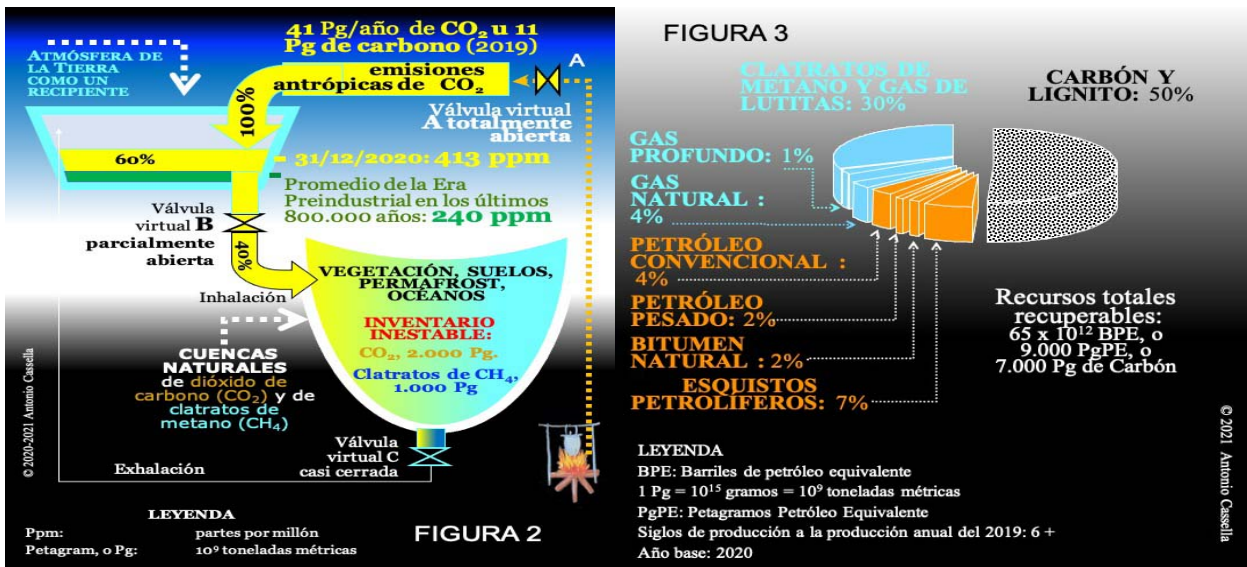
Introduzco aquí dos premisas:

- La **no-linealidad** señalada por el IPCC (2007, 2014, 2018, 2019) responde a una regla de oro centrada en el **cuadrado del alza de la temperatura de superficie desde 1850**; y
- el Progreso sustentable vendrá solo con la difusión del conocimiento sobre la realidad de la **alianza de la computación cuántica con la clásica**.

La primera premisa implica que una subida de 0,5°C de la temperatura de superficie multiplicará en  $1,5 \times 1,5 = 2,25$  veces la fuerza de los huracanes, mientras que un alza similar al “Máximo Térmico del Paleoceno-Eoceno” (PETM en inglés) (+6 a +8° C) de hace 56 millones de años (Mya), acrecería en 36-64 veces los efectos climáticos extremos. Y la segunda hipótesis busca evitar un PETM seguido de una hipertermal del Permiano-Triásico (PTHT en inglés). La PTHT de hace 252 Mya, donde la temperatura de superficie aumentó en +14° C ( $14 \times 14 = 196$ ), mató 4/5 de las especies de la Tierra. *La hipertermal del Antropoceno pudiese añadir la extinción de los humanos.*

## 2. ENTORNO: LO QUE SABEMOS DE INTRUSIONES EXCEPCIONALES DE CARBONO

Al definir 1 Petagramo (Pg) como  $1 \times 10^9$  (un millardo) toneladas métricas, asiento en 25 Pg de CO<sub>2</sub> la contaminación anual de nuestra atmósfera (60% del CO<sub>2</sub> entrante, 41 Pg, Figura 2) en el 2020.



La atmósfera contiene unos 800 Pg de Carbono en el dióxido de carbono (CO<sub>2</sub>) y metano (CH<sub>4</sub>) que se juntan al vapor de agua y a otros gases de invernadero (GDI) para retener parte del calor del sol. Los GDI frenan una atmósfera fría (-18° C), ayudando la fotosíntesis de las plantas y la vida de los animales, hongos y organismos asociados. Las rocas terrestres (lutitas y calizas) tienen unos 100 millones de Pg de carbono;<sup>4</sup> estimo en 7.000 Pg (Figura 3) los recursos fósiles (carbón, petróleo y gas) contenidos en trampas geológicas; y supongo también (Figura 2) que 2.000 Pg de CO<sub>2</sub> y 1000 Pg de clatratos de CH<sub>4</sub> son inestables en sus cuencas naturales (e.g., el permafrost y los océanos). Los océanos truecan CO<sub>2</sub> con la atmósfera mientras sus fondos cuidan unos 38.000 Pg de carbono (UNH). Desconocemos la fuente del CO<sub>2</sub>, CH<sub>4</sub> y N<sub>2</sub>O volcados en la atmósfera, cuando su temperatura sube naturalmente (Figura 1), aunque se sospecha del permafrost. Mas lo que importa es que *estamos devolviendo a la atmósfera en dos siglos el carbono que tardó millones de años en llenar trampas geológicas*. Antes de 1850 la atmósfera contenía menos GDI que hoy, ya que hace dos siglos nuestro consumo de energía per-cápita y masa global eran todavía modestos.

<sup>4</sup> Dato recogidos en diciembre del 2020 del sitio web *Globe Carbon Cycle* de la “University of New Hampshire” (UNH).



La población mundial ha crecido de 10.000 individuos, después de la erupción del Toba hace 75.000 años, a unos 8 billardos en el 2020. También lo ha hecho nuestro consumo de energía. La energía per cápita era de 0,5 BPEPA (barriles de petróleo equivalente por año) (Malanima, 2014) en la Edad del Alimento hace seis millones de años, cuando los homínidos superaban las hienas más capaces; 1,14 barriles en la Edad del Fuego, robado por Prometeo 1 millón de años atrás; y 1,3 barriles en la Edad de la Agricultura, en el 8.000 AEC (Antes de la Era Común). *Un consumo per cápita de 13 BPEPA en el 2019 muestra que cada persona traga hoy diez veces la energía utilizada por un agricultor del antiguo Levante; y colectivamente, cerca de 100.000 veces más combustibles fósiles que hace 10.000 años*, cuando el nivel del mar era 25 metros más bajo que hoy.

El ácido carbónico aflige ya nuestros océanos; el agua y la comida disminuirán; y muchas especies no-humanas han muerto en la sexta extinción en curso. ¿Es que los jóvenes tienen un futuro?

Debido a que la tasa actual de contaminación de la atmósfera con CO<sub>2</sub> es la más intensa que la Tierra ha sufrido en millones de años, Babila et al. (2018) suponen que *la acidificación de los océanos a finales del siglo XXI será más severa que la del Máximo Térmico del Paleoceno-Eoceno (PETM)*. Foster et al. (2018) valoran nuestro conocimiento sobre los efectos extremos de intrusiones aceleradas de carbono en la atmósfera de la Tierra: i.e., el aumento de la temperatura de superficie, la acidificación de los océanos, la lluvia ácida, polos libres de hielo, reducción del albedo polar, la anoxia y euxinia (falta de oxígeno y abundancia de sulfuro de hidrógeno) en los océanos, un nivel más alto del mar, mayor erosión y extinciones masivas.

Svensen et al. (2018) escribieron que, hace unos 252 millones de años, magma de las Trampas Siberianas cruzó fisuras y depósitos ricos en carbono. Ese carbono alcanzó la atmósfera al final del Paleozoico. *La Hipertermal entre el Permiano y el Triásico (PTHT) causó la Tercera y más severa extinción de la Tierra*. Aunque Augland et al. (2019) admitieron que hay fenómenos no modelables por la ciencia, confirmaron el rol de las erupciones repetidas de las Trampas Siberianas en la PTHT.

Benton (2018) investigó la PTME (Extinción Masiva del Permiano-Triásico) en la cual murieron unos 4/5 de las especies de la Tierra. Él enfatizó que en los océanos, el calentamiento desde arriba y la anoxia desde abajo se debieron a intrusiones de CO<sub>2</sub> en la atmósfera, seguidas por la entrada de CH<sub>4</sub> desde cristales-hidratos marinos. Ese científico señaló que la hipoxia (deficiencia de oxígeno) en los tejidos de los seres vivos y la hipercapnia (exceso de CO<sub>2</sub> en la sangre) pudiesen haberse combinado con la euxinia causada por el *surgimiento de sulfuro de hidrógeno desde el mar*.

En la Pangea, que se extendía de polo a polo en la PTHT, la extinción respondió a una temperatura alta de superficie (40°C), sequías, incendios, lluvia ácida y alteraciones del escudo de ozono (Kump, Pavlov y Arthur, 2005; Ward, 2006). Kump (2018) añadió que la recuperación después de la PTHT fue dificultada durante millones de años por una meteorización débil de carbonato-silicato.

Las causas de la peor extinción de la Tierra pudieron haber sido **múltiples**, como en la novela de Agatha Christie, *Asesinato en el Expreso de Oriente*, o en los 23 cortes que desangraron a Julio César en el Senado romano el 15 de Marzo del 44 AEC. La sexta extinción en curso de las especies no-humanas y el calentamiento global en ciernes, sin embargo, responden a una causa única: la **ambición humana**, o **hibris**. *La erupción antropogénica actual de CO<sub>2</sub>, CH<sub>4</sub> y N<sub>2</sub>O pudiese causar, a la vuelta del siglo XXI o antes, una repetición del PETM y aún de la PTHT*. La ciencia puede proveer pilas de combustible que generen energía secuestrando carbono (CCS) (Bove et al., 2020). Evitar nuevos PETM y PTHT, sin embargo, supera la ciencia. Es más, podemos profundizar nuestro conocimiento de la alianza (3) de la computación **cuántica** (2) con la clásica (1) (Cassella, 1997, 2000, 2002, 2015, 2018b) en el mito Mesoamericano del semidiós Quetzalcóatl.

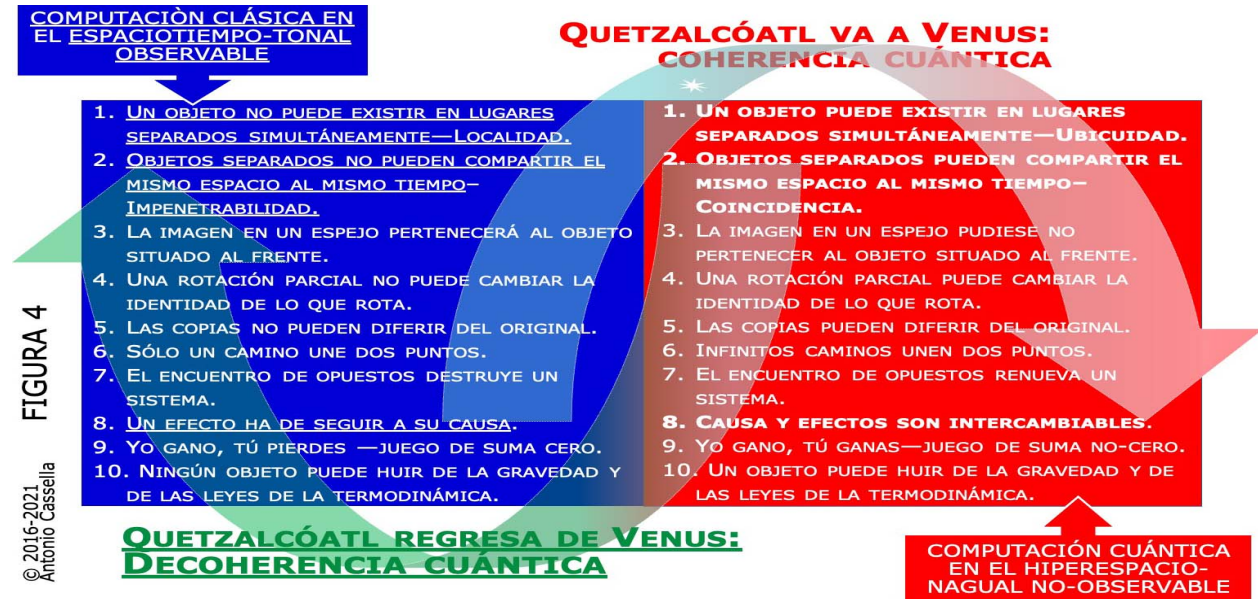
Un Quetzalcóatl pecador **fue a Venus** como un **diablo mentiroso** (acción difícil para los autistas); pero el **arrepentimiento** le permitirá **regresar** de Venus con una nueva verdad (acción difícil para los esquizofrénicos). La **ida** de Quetzalcóatl con la **estrella matutina** y su **regreso** con la **estrella de la tarde** son una metáfora del Progreso. ¿Caerán nuestros nietos en la trampa del progreso científico aunado a un regreso social? ¿O pueden salvarlos nuestra Visión (de la Tercera Atención) y Voluntad (en el Tercer Punto de cada persona, cultura y país **arrepentidos**)?





### 3. DISCUSIÓN: LOS PRINCIPIOS DE LA HEURÍSTICA LOGOS

La **tentación** alocada de cambiar la atmósfera de la Tierra en el manto venenoso de Venus (90% CO<sub>2</sub> y 500°C en la superficie), quemando el carbono atrapados en lutitas, no puede ser. En verdad, liberar 1/5 del carbono contenido en los recursos de combustibles fósiles (7.000 Pg en la Figura 3) subiría el CO<sub>2</sub> atmosférico de 0,041% a más de 0,1% (o 1.000 ppm) en el siglo XXI. Ese efecto sería suficiente para torturar a nuestros nietos antes de conducirlos a una muerte prematura.



La computación clásica nos dice en la Figura 4 (8<sup>vo</sup> principio a la izquierda) que en el espaciotiempo un efecto ha de seguir a su causa. Por eso, estamos mal si no conocemos la causa de todo efecto. En la imaginación creada por el **hiperespacio** (Caramazza, 1994), por suerte, la **esperanza** de establecer una nueva secuencia clásica nos permite entrar en la fase de **coherencia** de la computación cuántica, *si decidimos encarar un problema crítico*. Al **enfrentarnos a un problema**, hemos de **alinearnos con ambos, una causa y su efecto** (Figura 4, 8<sup>vo</sup> principio a la derecha), lo cual enfatiza la **velocidad infinita** conexas a la Ubicuidad (el primer principio a la derecha).

Mi primera carta realzó los primeros dos conjuntos. Esta carta se apoya en el 8<sup>vo</sup> conjunto de principios (Figura 4) para mostrar una expansión a diez conjuntos. (Llegué a 20 conjuntos antes de ver que los primeros dos rigen los demás). La **infinitad**, que resulta de **alinearse** con una causa y su efecto dentro de la Ubicuidad, debe abrazar la **nada** (la Coincidencia) antes de alcanzar el **cruce** del **hiperespacio** con el **espaciotiempo** (Cassella, 2019b) en la **decoherencia**. La **nada** de la Coincidencia hace la puerta del **regreso**, que los **esquizofrénicos** no logran abrir. Pero necesitamos más que antipsicóticos para **regresar**, antes de que nuestros nietos se quejen de nuestra **locura**.

#### LA LOCURA DE BUSCAR EL CRECIMIENTO DE LA ECONOMÍA Y LA POBLACIÓN

En el hiperespacio, alinearse simultáneamente a la retroalimentación positiva y negativa puede ayudarnos a **plantear** las **causas** de cambios pasados del clima. La Figura 1 muestra que en los últimos 800.000 años el calor inducido por cambios en la rotación de la Tierra entorno al Sol causó un aumento de la temperatura de superficie, del contenido de CO<sub>2</sub>, CH<sub>4</sub> y N<sub>2</sub>O en la atmósfera y del alza del nivel del mar.

Por ejemplo, hace unos 125.000 años, después de un aumento de la temperatura de superficie, la fusión total de los glaciares de Groenlandia y parcial del hielo antártico causó un alza de 6-10

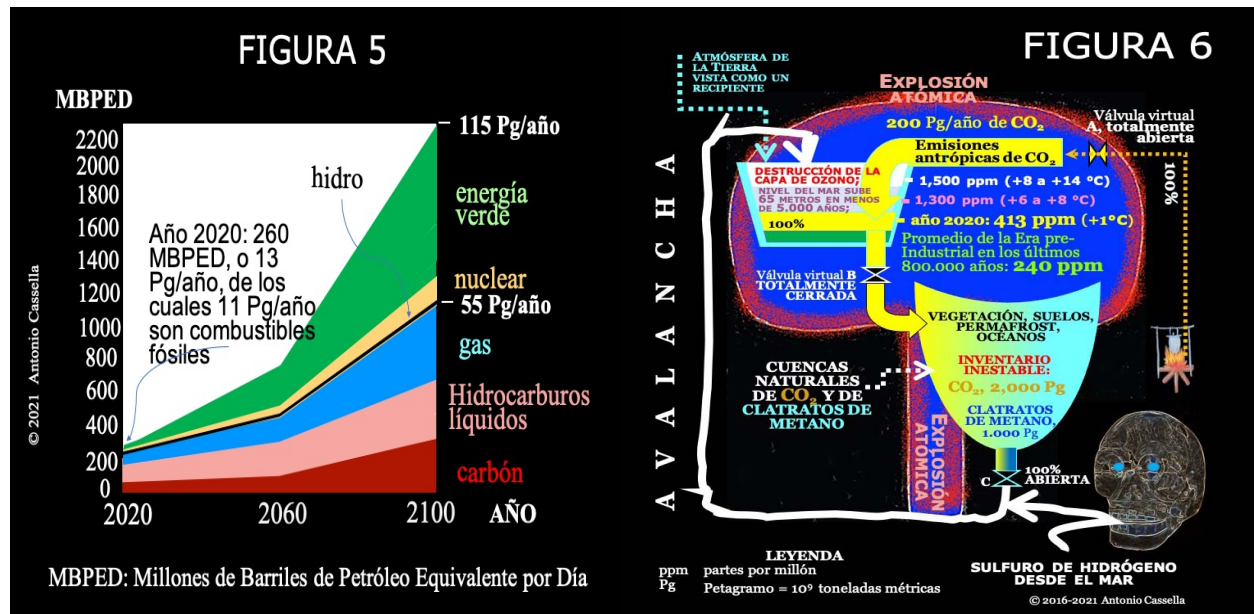


metros del nivel del mar. Podemos consolarnos del hecho que tomaría 5.000 años derretir los glaciares de la Antártica con la consiguiente subida del nivel del mar en 65 metros.

Por un lado, el alza de temperatura por el aumento de insolación (la causa inicial) amplió el contenido de CO<sub>2</sub> en la atmósfera (el efecto), lo cual causó una crecida adicional de la temperatura, el derretimiento de clatratos de metano, más vapor de agua, y más temperatura (e.g., +3° C, Figura 1). Ya que el metano dura menos que el CO<sub>2</sub> en la atmosfera, *al alcanzar un punto de inflexión*, su fuerza bajaría, reduciendo la temperatura de superficie y el contenido de dióxido de carbono y de otros GDI. Por el otro lado, el derretimiento del permafrost, trastornos en las corrientes oceánicas o cambios orbitales pudiesen haber causado el alza y caída del CO<sub>2</sub> y del CH<sub>4</sub>. Las crisis naturales ocurrieron rápidamente; y la recuperación fue muy lenta. Este esquema no ha cambiado.

Hoy, los trastornos climáticos están a la vuelta de la esquina. Ciertamente, todos quieren un carro más grande, más electricidad, un apartamento aclimatado, una cena mejor y una vida más larga. Ya que un millardo de personas beben agua contaminada y a malas penas desayunan, es razonable suponer que un crecimiento global alto y prolongado de los países pobres, como el que tuvo China desde la muerte de Mao Zedong, eliminaría la pobreza (Cassella, 2018b).

Mas las Figuras 5 y 6 muestran que el intento de eliminar la pobreza sería contraproducente, aunque la eficiencia energética doblara; y la energía libre de carbono creciese de 15 a 50%.



Un crecimiento económico alto y prolongado causaría una avalancha ambiental similar a la PHTT (Figura 6). Al mismo tiempo, la proliferación de armas nucleares, del terrorismo y la **hibris humana** aumentarían el riesgo de una conflagración nuclear en la que el poder de un millón de bombas tipo Hiroshima, concentrado en pocas armas termonucleares, destruiría las ciudades de la Tierra.

Sabemos que debemos combatir el calentamiento global, el uso de armas de destrucción masiva, la pobreza extrema, la degeneración cognitiva, la regresión social y el terrorismo. Podemos defender mejor nuestra especie y las especies no-humanas entendiendo la realidad de la alianza de la computación cuántica con la clásica, como lo señala la Figura 4.

Desafortunadamente, las matemáticas y los modelos científicos no son suficientes para convencer fácilmente a humanos colmados de hibris a renunciar a un crecimiento económico y poblacional basado en la quema de combustibles fósiles, el excremento del **diablo**. Los **líderes diabólicos**, sus **edecanes corruptos** y sus esclavos pudiesen leer sus **Textos Sagrados** y cualquier obra de arte: pero su hibris los lleva sólo a "leer". Es difícil que unan leer con leer, ya que no hay escuelas o instituciones que enseñen las maravillas y peligros de la computación neural cuántica.



## LA IDA DE LA AMBICIÓN Y EL REGRESO DE LA JUSTICIA EN UNA ESCUELA

Como sea, tengo a mano un ejemplo que pudiese convencer 98% de nosotros a **apreciar** el poder de la computación cuántica. En el episodio TV “El señor Monk regresa a la escuela”, Adrian Monk (un detective de la policía en retiro temporal) teme la **inteligencia** de un profesor de ciencias que ha ultimado a una profesora de inglés en estado (su amante secreta). Monk cree que el asesino la ha lanzado del tope de una torre-reloj, aunque en ese momento él estaba supervisando el examen SAT de un grupo de estudiantes en su aula. Monk sabe que **nadie puede actuar en dos lugares a la vez** (el principio de la **Localidad**, a la izquierda en la Figura 4); y el presunto asesino le explica que una serpiente atrapada en un recipiente de vidrio puede ver, pero no puede agarrar, un ratón alojado en un recipiente adyacente, porque **no puede cruzar** ni la primera ni la segunda pared de vidrio (una limitación asociada al principio de la **Impenetrabilidad**, a la izquierda en la Figura 4).

Mas su visión de la **Ubiquidad** y la **Coincidencia** (derecha, en la Figura 4) y del **encuentro** del **espaciotiempo** con el **hiperespacio** lleva a Monk hacia un **enigma problemático**; y a **encontrar una solución** cuando encara a un oponente valioso frente a la torre del reloj. Monk **entiende** allí y entonces que el asesino había puesto su víctima sobre la aguja larga del reloj, lo cual le permitió regresar a su salón antes de que el cuerpo sin vida de su víctima cayera sobre su carro estacionado debajo del reloj. Al cruzar la **infinitud** con la **nada** en su mente, Monk **halla la solución** del crimen y le da las gracias a su oponente confundido, quien le pregunta a una testigo sobre quien había **ganado** la lucha. Tanto Monk como su oponente valioso **vencieron juntos** (9<sup>no</sup> principio a la derecha en la Figura 4) cuando la **creatividad** reemplazó la **violencia**. La mente **honestas de Monk** y la **astucia** del asesino reflejan la Intuición Creativa del escritor del guión de las historias de Monk.

El ejemplo anterior descubre la **justicia** impuesta por Monk a un profesor **violento**, quien goza con **burlarse** de los principios de la computación **clásica** y **cuántica**. A diferencia de la **creatividad criminal** en la mente del profesor de ciencias, la **unión** de la computación **cuántica** con la **clásica** en Monk logra **resolver problemas** arduos, superando exitosamente incidentes enigmáticos. En *El señor Monk regresa a la escuela*, la **infinitud** y la **nada** se cortejan, como lo hacen en una onda circular en expansión, causada por un terremoto o por una piedra lanzada en la superficie de un lago. En todo círculo, un **número infinito** de **radios idénticos** corteja la **nada** de un centro común.

Así, toda onda circular refleja el **poder** de la Pi Griega por el cuadrado de uno de sus **infinitos radios**. Idealmente, *los extremos del clima terrestre siguen el cuadrado del cambio de la temperatura de superficie*. Dentro de una Tierra afiebrada, por ejemplo, el alza de 1°C incrementa de mucho la humedad que nutre los monzones y las inundaciones en la India, Bangladesh y China. En el 2000, el **poder** de una onda circular destruyó en París el tanque de combustible de un Concorde. Pero ¡la onda circular de la computación cuántica puede **hacer bien!** E.g., en “El señor Monk encuentra a su padre”, un **viejo arrepentido** le enseña a su hijo (Monk) como ir en bicicleta. Ese padre se **había ido**, pero su corazón y la gracia lo invitaron a **regresar**.

El **círculo** que encierra la base de las pirámides de Giza sugiere que los faraones (Cassella, 2018a) sabían que la **infinitud de la coherencia** puede mudar a la **nada** de la **decoherencia** en la que **retornamos** a una realidad clásica mejor. En las cuatro pirámides de la cuarta dinastía egipcia (Khufu, Djedefre, Khafre y Menkaure), el cociente entre el perímetro de la base y la altura es **6.28**. De allí la hipótesis (Cassella 2018a, 2019a) que la **Pi griega** (3.14 etc.) y la Identidad de **Eulero** ( $e^{i\pi} + 1 = 0$ ) reflejan la **coherencia cuántica**; e.g., en la **ambición** del profesor de ciencias que trata de humillar a Monk en *El señor Monk regresa a la escuela*. Mas la **Tau griega** (dos veces la Pi griega, o 6.28 etc.) y la **Identidad Tau** ( $e^{2i\pi} - 1 = 0$ ) pueden asociarse al **tope** de una pirámide, el **amor de Monk por la justicia**, el **wu-wei** de Laozi, el **agua** y las enseñanzas que **Gabriel** le dio a Moisés.

No hay **justicia** en forzar los jóvenes a respirar un aire más caliente del que respiró **Moisés**. Ese príncipe egipcio **aprendió** en la “**Casa de Thot**” que el **Pastoral** clásico (el **Tumim** de Moisés o el **Hoalim** de Zacarías) **cruza** el **Mayal** cuántico (el **Urim** de Moisés y el **No’am** de Zacarías) en todo **líder** iluminado. Un Moisés iluminado dividió las enseñanzas que el rey Salomón pasó a la reina de





Saba, cuyos sabios las discutieron con los ancestros de Laozi y los olmecas. Los olmecas, mayas y aztecas valoraron un **Quetzalcóatl-Nagual** que **va** (el asesino en *El señor Monk regresa a la escuela*) y un **Quetzalcóatl-Águila** que **regresa** (**Monk** o su **papá**). Los **tiranos** pueden **entender** que el **Tumim-Pastoral** de Moisés y su **Urim-Mayal** fueron cosidos por una razón divina a la **altura del corazón** (una metáfora del “altruismo”) en el efod que Aarón tenía en el **Arca de la Alianza**.

Un mismo **yo** sostuvo un **Jacobo engañador** en Canaán, un **Jacobo soñador** en Betel y un **Israel** altruista en Penuel. La Visión de Jacobo sobre el **encuentro** de la computación **clásica** con la **cuántica** en la Tercera Atención se levantó con **Gabriel** en Betel; y el Tercer Punto de un Israel **altruista** fue bendecido por su lucha con el Arcángel **Miguel** en Penuel. Como en la **ida y regreso** de Quetzalcóatl, la vida de **Jacobo** nutrió la iluminación de **Israel** (Cassella, 2018b).

Similarmente, facciones iluminadas—como pudieran llegar a serlo los USA y Rusia—podrán **salvar el uno al otro**; y de paso, a la Tierra. La necesidad de una **iluminación mutua** anima la *Lucha por el Estandarte* de Leonardo (la pieza central de su mural *Batalla de Anghiari*), escondida a 7,035 metros por debajo del centro de la *Batalla de Marciano* de Giorgio Vasari’s en la Sala de los 500 del Palazzo Vecchio de Florencia (Cassella, 2018c). (Los lectores curiosos pudiesen ver el documental en dos partes que coloqué en YouTube y en el sitio web [researchautism.com](https://researchautism.com) explorando los enlaces <https://youtu.be/maq8Qx8kDV8> y <https://youtu.be/yxnKms3HcGQ>).

#### 4. CONCLUSIÓN: LIBERANDO LA LUCHA POR EL ESTANDARTE Y A NUESTROS NIETOS

Si **pensamos** y **decidimos** con el **corazón**, la temperatura de superficie de la Tierra seguirá el rumbo aconsejado por el IPCC. **Leer** la **alianza** (3) de la computación **cuántica** (2) con la **clásica** (1) en todo Texto Sagrado u obra de Ciencia, Filosofía o Arte, dentro de la Tercera Atención (3), llevará a nuestros líderes a **umentar a 85% la proporción de combustibles verdes, parar el crecimiento poblacional y económico, y remover el CO<sub>2</sub>, CH<sub>4</sub> y N<sub>2</sub>O que hemos arrojado a la atmósfera**.

En mi primera carta, propuse que **utilicemos para lo mejor** la capacidad nuclear que el miedo y la ambición **desarrollaron para lo peor** durante la guerra fría. Como en la difracción doble que le permitió a Leif Erikson en el 1000 EC **encontrar la ruta correcta** a su Vinlandia (Canadá) a través de un **crystal** de Islandia, una alianza entre los USA y Rusia pudiese cambiar en Progreso la inercia de las futuras avalanchas ambiental y nuclear. Otra *Estación Espacial Internacional* resultaría de **desenterrar** tres monumentos a Osiris/Orión en una explanada al sur de la ciudad de El Cairo (Cassella, 2018a). Liberar la *Lucha por el Estandarte* de **Leonardo da Vinci** daría el paso final.

La ubicación de la *Lucha por el Estandarte* seguiría la separación de carbonato y sulfato de calcio, en el yeso a la derecha de la parte baja del marco del cuadro de Vasari *Batalla de Marciano* (Cassella, 2018c), en la Sala de los 500 del Palazzo Vecchio de Florencia. **Liberar** y salvar la *Lucha por el Estandarte* nos ayudaría a alejar nuestra **hibris**, a pasar del “**Paraíso Perdido**” de John Milton a su “**Paraíso recobrado**”; y a **Lucifer/Iblis**, a escapar de **Satán**”.

#### REFERENCES

- Augland, L.E., Ryabov, V.V., Vernikovskiy, V.A., Plancke, A.G., Polozov, A.G., Callegaro, S. Jerram, D.A., & Svensen, H.H. (2019). The main pulse of the Siberian Traps expanded in size and composition. *Scientific Reports* 9,18723. <https://doi.org/10.1038/s41598-019-54023-2>
- Babila, T.L., Penman, D.E., Hönish, B., Kelly, D.C., Bralower, T.J., Rosenthal, Y., & Jachos, J.C. (2018). Capturing the global signature of surface ocean acidification during the Paleocene-Eocene Thermal Maximum. *Philosophical transactions. Series A, Mathematical, physical, and engineering sciences*, 376(2130), <https://doi.org/10.1098/rsta.2017.0072>.
- Benton, M.J. (2018). Hyperthermal-driven mass extinctions: killing models during the Permian-Triassic mass extinction. *Philosophical transactions. Series A, Mathematical, physical, and engineering sciences*, 376(2130), <https://doi.org/10.1098/rsta.2017.0076>



- Bove, D., Audasso, E., Barckholtz, T., Kiss, G., & Bosio, B. (2020) Process analysis of molten carbonate fuel cells in carbon capture applications. *International Journal of Hydrogen Energy*, <https://doi.org/10.1016/j.ijhydene.2020.08.020>
- BP. (2020). *Statistical review of world energy 2020/69<sup>th</sup> edition*. London: British Petroleum.
- Caramazza, A. (1994). Parallels and ubiquities in the acquisition and dissolution of language. *Proceedings of the Royal Society of London*, 346, 121-127.
- Cassella, A. (1997). *Self-other differentiation and self-other integration from the perspective of language development and autism*. Unpublished master thesis. Harvard University. Cambridge, Massachusetts.
- Cassella, A. (2000). *Fundamentos cognitivos y semióticos de la creatividad: Aportes del autismo*. Tesis Doctoral Publicada. Universidad Nacional Experimental Simón Rodríguez (UNESR), Caracas, Venezuela. (Publicada en formato digital por Research Autism, Melbourne, Florida).
- Cassella, A. (2002). *The flameless fire: From autism to creative intelligence*. Quincy (MA): Logosresearch. (See [researchautism.com](http://researchautism.com) or write the name "Antonio Cassella" at Amazon).
- Cassella, A. (2015). *Una ojeada ilícita a una extraordinaria teoría-del-todo: Respuestas a 15 preguntas sobre la danza de la localidad con la no-localidad*. Melbourne (FL): Research Autism.
- Cassella, A. (2018a). Exploring the Sphinx and the Great Pyramid through the logos heuristics. *International Journal of Social Science Studies*, 6(9), 11-30.
- Cassella, A. (2018b). Serie, *Así regresó Quetzalcoatl: Laberinto 1 (La vía de la caza), Laberinto 2 (la vía de la guerra), y Laberinto 3 (La vía del progreso)*. Melbourne (FL): Research Autism.
- Cassella, A. (2018c). *Superación del cambio climático y del terrorismo uniendo computación clásica y cuántica*. Melbourne (FL): Research Autism LLC.
- Cassella, A. (2019a). Joining General Relativity to Particle Physics through Complex Numbers and Autism. *International Journal of Social Science Studies*, 7(4) 33-56.
- Cassella, A. (2019b). Gaging the Neural Path of the Universal Grammar by the Logos Heuristics. *International Journal of Social Science Studies*, 7(6), 85-108.
- Foster, G.L., Pincelli, H., Lunt, D., & Zachos, J.C. (2018) Placing our current "hyperthermal" in the context of rapid climate change in our geological past. *Philosophical transactions. Series A, Mathematical, physical, and engineering sciences*, 376(2130). <https://doi.org/10.1098/rsta.2017.0086>
- Kump, L. R, Pavlov, A., & Arthur, M. A. (May 2005). "Massive release of hydrogen sulfide to the surface ocean and atmosphere during intervals of oceanic anoxia." *Geology*, 33, 397-400. <https://pdfs.semanticscholar.org/3a12/61e202e35bc643d470135eece42efdc133d0.pdf>
- Kump, L. R. (2018). Prolonged Late Permian-Early Triassic hyperthermal: failure of climate regulation? *Philosophical transactions. Series A, Mathematical, physical, and engineering sciences*, 376(2130). <https://doi.org/10.1098/rsta.2017.0078>
- IPCC-WG1. (2007). *Fourth Assessment Report. Summary for Policymakers*. IPCC-WMO.
- IPCC-WG1. (2014). *Fifth Assessment Report. Summary for Policymakers*. IPCC-WMO.
- IPCC. (2018). *Global warming of 1.5°C*. IPCC-WMO,
- IPCC. (2019). *The Ocean and Cryosphere in a Changing Climate*. IPCC-WMO, September,
- Jouzuel, J. et al. (2007). Orbital and millennial Antarctic climate variability over the past 800,000 years. *Science*, Vol. 317, Issue 5839: 793-796. DOI: [10.1126/Science.1141038](https://doi.org/10.1126/Science.1141038).
- Malanima, P. (2014). Energy in history. In M. Agnoletti and S. Neri Serneri (Eds.) *The basic environmental history* (pp. 1-29). Switzerland: Springer.
- Svensen, K.K., Frolov, S., Akmanov, G.G., & Polozov, A.G. (2018). Sills and gas generation in the Siberian Traps. *Philosophical transactions. Series A, Mathematical, physical, and engineering sciences*, 376(2130). <https://doi.org/10.1098/rsta.2017.0080>
- Ward, P. D. (October 2006). "Impact from the Deep." *Scientific American*, 295, 64-71. <https://doi.org/10.1038/scientificamerican1006-64>